

# PDTC 对胃癌细胞 MKN-45 p53 异构体表达的影响及其生物学意义

王燕泽<sup>1</sup>,崔璨<sup>1</sup>,张红梅<sup>2</sup>,李蕾<sup>2</sup>,张丽<sup>2</sup>,王春芽<sup>2</sup>,焦建新<sup>2</sup>,高志星<sup>2</sup>,季万胜<sup>2</sup>  
(1. 潍坊医学院, 山东 潍坊 261053; 2. 潍坊医学院附属医院, 山东 潍坊 261031)

**摘要:**[目的] 探讨核因子-κB(NF-κB)抑制剂吡咯烷二硫代氨基甲酸(PDTC)对胃癌细胞MKN-45 p53异构体表达的影响及其生物学意义。**[方法]**不同浓度的PDTC(25、50、75μmol/L)单独及联合顺铂(4μg/ml)作用于胃癌细胞MKN-45,采用细胞增殖/毒性检测试剂盒(CCK-8试剂盒)检测细胞增殖抑制率;实时荧光定量多聚酶链反应(RT-PCR)检测p53β、Δ133p53及NF-κB p65在mRNA水平的表达情况。**[结果]**CCK-8结果显示,PDTC(25、50、75μmol/L)单独作用时能抑制MKN-45细胞生长,抑制率分别为4.95%、12.20%、21.28%,差异有统计学意义( $P<0.0001$ );当与顺铂(4μg/ml)联合时,MKN-45细胞增殖抑制率随PDTC浓度的增加而增加,且高于单独顺铂组,差异有统计学意义( $P<0.0001$ )。RT-PCR结果显示,当用不同浓度PDTC(25、50、75μmol/L)预处理2h后再加入顺铂(4μg/ml),MKN-45细胞中p53β mRNA的表达差异无统计学意义( $P=0.04$ ),而Δ133p53和p65 mRNA的表达随PDTC浓度的增加而降低,且低于顺铂单独组,差异有统计学意义( $P<0.0001$ )。Pearson相关性分析显示,p65与p53β mRNA表达无相关性( $r=0.072, P=0.798$ ),p65与Δ133p53 mRNA表达呈正相关( $r=0.814, P<0.0001$ )。**[结论]**NF-κB抑制剂PDTC可以抑制MKN-45细胞的生长,也可以增强顺铂对该细胞的生长抑制效应,Δ133p53异构体可能是NF-κB-p53对话的关键分子。

关键词:p53β;Δ133p53;NF-κB p65;胃癌;吡咯烷二硫代氨基甲酸;顺铂

中图分类号:R735.9 文献标识码:A 文章编号:1004-0242(2017)02-0156-05

doi:10.11735/j.issn.1004-0242.2017.02.A016

## Effect of PDTC on Expression of p53 Isoforms in Gastric Cancer Cell Line MKN-45 and Its Biological Significance

WANG Yan-ze<sup>1</sup>, CUI Can<sup>1</sup>, ZHANG Hong-mei<sup>2</sup>, et al.

(1. Weifang Medical College, Weifang 261053, China; 2. Affiliated Hospital of Weifang Medical College, Weifang 261031, China)

**Abstract:**[Purpose] To investigate the effect of the nuclear factor-κB(NF-κB) inhibitor pyrrolidine dithiocarbamate (PDTC) on the expression of p53 isoforms in gastric cancer MKN-45 cells and its biological significance. [Methods] Different concentrations of PDTC (25, 50, 75μmol/L) alone or in combination with cisplatin (4μg/ml) were used to treat gastric cancer MKN-45 cells. The inhibition rate of MKN-45 cells was determined by cell proliferation/toxicity testing kits (CCK-8 assay). The mRNA expressions of p53β, Δ133p53 and NF-κB p65 were determined by real-time polymerase chain reaction(RT-PCR). [Results] CCK-8 assay showed that PDTC(25, 50, 75μmol/L) inhibited the growth of gastric cancer MKN-45 cells with an inhibition rate of 4.95%, 12.20% and 21.28% respectively( $P<0.0001$ ). When combined with cisplatin, the inhibition rate of PDTC was higher than PDCT alone ( $P<0.0001$ ). RT-PCR showed that, when cisplatin (4μg/ml) was added in PDTC-pre-treated MKN-45 cells, the expressions of Δ133p53 and p65 mRNA were reduced and lower than that in cells treated by cisplatin alone ( $P<0.0001$ ); however, there were no significant changes of p53β mRNA expression( $P=0.04$ ). Pearson correlation analysis showed that there was no correlation between mRNA expression of p65 and p53β( $r=0.072, P=0.798$ ). The mRNA expression of p65 was positively correlated with Δ133p53( $r=0.814, P<0.0001$ ). [Conclusion] NF-κB inhibitor PDTC can inhibit the growth of gastric cancer MKN-45 cells, and enhance inhibitory effect of cisplatin. The results indicate that Δ133p53 rather than p53β isoforms might be a key molecule of the NF-κB-p53 interaction.

**Key words:**p53β;Δ133p53;NF-κB p65;gastric cancer;pyrrolidine dithiocarbamate (PDTC);cis-platin

收稿日期:2016-05-15;修回日期:2016-09-05

基金项目:山东省优秀中青年科学家科研奖励基金(BS2010SW034)

通讯作者:季万胜,E-mail:jiwsh@wfmc.edu.cn

我国胃癌的发病率和死亡率是世界平均水平的2~3倍<sup>[1]</sup>,然而胃癌的化疗效果并不理想,肿瘤细胞的耐药性可能是制约治疗效果的主要原因。顺铂是临幊上常见的化疔药物,相关研究显示<sup>[2]</sup>,顺铂在抗肿瘤的同时,可以激活NF-κB(nuclear factor,核因子-κB),导致肿瘤细胞产生抗药性,造成化疔失败。

NF-κB是一种细胞核内信号转导的重要因子,吡咯烷二硫代氨基甲酸(pyrrolidine dithiocarbamate,PDTC)是NF-κB的常见抑制剂,p53β和Δ133p53是p53选择性表达的两种常见异构体,两者在肿瘤的发生发展中起非常重要的作用<sup>[3]</sup>。目前有关p53异构体与NF-κB在胃癌中相互作用的报道很少,本研究通过观察在PDTC联合顺铂诱导胃癌细胞MKN-45发生凋亡的过程中,NF-κB与p53β、Δ133p53表达水平之间的关系,探讨PDTC在联合化疔治疗胃癌中的机制及应用前景。

## 1 材料与方法

### 1.1 主要材料及试剂

人胃癌细胞MKN-45由第四军医大学馈赠,RPMI-1640培养基(Hyclone公司),FBS胎牛血清(GIBCO公司);顺铂购自江苏豪森药业有限公司(批号150103),PDTC购自sigma公司(批号P8765)。CCK-8购自日本同仁研究所(货号CK04),TRIZOL(南京百斯凯科技有限公司,全式金cat:ET111-01),Real-time PCR试剂盒(南京百斯凯科技有限公司,全式金cat:AQ131-01),PCR引物合成(上海生工)。

### 1.2 细胞培养

人胃癌细胞培养于RPMI-1640完全培养基(含10%的胎牛血清,100U/ml青链霉素)中,置于5%CO<sub>2</sub>、37℃的饱和湿度培养箱中,用0.25%胰蛋白酶消化传代培养,每2~3d传代1次,取处于对数生长期的细胞用于实验。

### 1.3 CCK-8法测定细胞增殖抑制率

以2×10<sup>4</sup>~3×10<sup>4</sup>/ml的密度接种于96孔板中,每孔100μl。培养箱中培养24h后加药,设置空白组、对照组和实验组,每组设3个复孔。实验组为:①顺铂4μg/ml;②PDTC25μmol/L;③PDTC50μmol/L;④PDTC75μmol/L;⑤顺铂4μg/ml+PDTC25μmol/L;

⑥顺铂4μg/ml+PDTC50μmol/L;⑦顺铂4μg/ml+PDTC75μmol/L。对照组:不含药物的培养基;空白组:不含细胞和药物的培养基。加药培养24h后弃去培养基,加入CCK-8试剂和培养基混合液(1:10比例),培养箱继续孵育2h后,用酶标仪(波长450nm)测各孔吸光度值,计算抑制率(IC)=[1-(实验组-空白组)/(对照组-空白组)]×100%。

### 1.4 RT-PCR检测p53β、Δ133p53及p65 mRNA的表达

取对数生长期的细胞以2×10<sup>4</sup>~3×10<sup>4</sup>/ml的密度接种于6孔板中,每孔2ml。设置空白组、对照组和实验组,每组设3个复孔。实验组为:①顺铂4μg/ml;②顺铂4μg/ml+PDTC25μmol/L;③顺铂4μg/ml+PDTC50μmol/L;④顺铂4μg/ml+PDTC75μmol/L。对照组:不含药物的培养基;空白组:不含细胞和药物的培养基。培养24h后按TRIZOL试剂盒说明提取总RNA,用逆转录试剂盒合成cDNA,以β-actin作为内参,反应体系为20μl(Table 1),反应条件为:95℃预变性5min,95℃变性20s,55℃退火20s;72℃延伸20s,共40个循环。用实时荧光定量PCR仪(Bio-Rad公司)对PCR产物进行实时定量分析,检测Ct值,根据ΔCt=目的Ct-内参Ct,ΔΔCt=实验组ΔCt-对照组ΔCt,计算基因相对表达量2<sup>-ΔΔCt</sup>。

### 1.5 统计学处理

采用SPSS17.0软件进行统计分析,各组实验数据以 $\bar{x}\pm s$ 表示,组间差异采用单因素方差分析,两两比较采用LSD-t检验,两变量间相关性采用Pearson直线相关分析,P<0.01为差异有统计学意义。

Table 1 Primer sequence

Primers	Primer sequences
p53β	
First	Forward 5'-GTCACTGCCATGGAGGAGCCGCA-3' Reverse 5'-GACGCACACCTATTGCAAGCAAGGGTTC-3'
Second	Forward 5'- ATGGAGGAGCCGCAGTCAGAT- 3' Reverse 5'- TTGAAAGCTGGTCTGGCCTGA- 3'
Δ133p53	
First	Forward 5'- CTGAGGTGTAGACGCCAATCTCTCTAG-3' Reverse 5'- TGTCACTCTGACTCAGGCCCTCTGTC-3'
Second	Forward 5'- GCTAGTGGGTTGCAGGAGGTGCTTACGG-3' Reverse 5'- CTCACGCCACGGATCTGA-3'
p65	Forward 5'- TATGACCACACATGACAG-3' Reverse 5'- CTGGATCTGTGAAACTTGGA-3'
β-actin	Forward 5'- GATGAGATTGGCATGGCTTT-3' Reverse 5'- GTCACCTTCACCGTTCCAGT-3'

## 2 结 果

### 2.1 PDTC 联合顺铂对 MKN-45 细胞增殖的影响

CCK-8 结果显示, 不同浓度的 PDTC (25、50、75 $\mu\text{mol/L}$ )作用于 MKN-45 细胞, 其细胞抑制率分别为 4.95%、12.20% 和 21.28%, 差异有统计学意义 ( $F=167.10, P<0.0001$ )。当用不同浓度 PDTC (25、50、75 $\mu\text{mol/L}$ ) 预处理 2h 后再加入顺铂 (4 $\mu\text{g/ml}$ ), 其细胞抑制率分别为 41.28%、49.57%、59.69%, 明显高于单独顺铂组 (31.89%), 且随 PDTC 浓度的增加而增加, 差异有统计学意义 ( $F=437.84, P=0.0002$ )。说明 PDTC 能够抑制 MKN-45 细胞的生长, 同时能增加传统化疗药物顺铂对 MKN-45 细胞的敏感性, 发挥协同抗肿瘤作用 (Table 2)。

### 2.2 PDTC 联合顺铂对人胃癌细胞中 $p53\beta$ 、 $\Delta 133p53$ 及 $p65$ mRNA 表达的影响

RT-PCR 结果显示, 在 MKN-45 细胞中顺铂 (4 $\mu\text{g/ml}$ ) 能增加  $p53\beta$ 、降低  $\Delta 133p53$  mRNA 的表达 (本课题组前期工作也已证实); 当用不同浓度 PDTC (25、50、75 $\mu\text{mol/L}$ ) 预处理 2h 后再加入顺铂 (4 $\mu\text{g/ml}$ ),  $p53\beta$  mRNA 的表达无明显变化, 而  $\Delta 133p53$  mRNA 的表达随 PDTC 浓度的增加而降低, 差异有统计学意义 ( $P<0.0001$ )。本实验证实, 顺铂 (4 $\mu\text{g/ml}$ ) 可增加 MKN-45 细胞中  $p65$  mRNA 的表达, 当用 25、50、75 $\mu\text{mol/L}$  PDTC 预处理 2h 后再加入顺铂 (4 $\mu\text{g/ml}$ ),  $p65$

**Table 2 The inhibition rate of PDTC combined with cisplatin on gastric cancer cell MKN-45 for 24h ( $\bar{x}\pm s, n=3$ )**

Groups	Inhibition rate (%)
Cisplatin(4 $\mu\text{g/ml}$ )	31.89 $\pm$ 0.01
PDT(25 $\mu\text{mol/L}$ )	4.95 $\pm$ 0.01
PDT(50 $\mu\text{mol/L}$ )	12.20 $\pm$ 0.01
PDT(75 $\mu\text{mol/L}$ )	21.28 $\pm$ 0.01
Cisplatin(4 $\mu\text{g/ml}$ )+PDT(25 $\mu\text{mol/L}$ )	41.28 $\pm$ 0.01 <sup>△*</sup>
Cisplatin(4 $\mu\text{g/ml}$ )+PDT(50 $\mu\text{mol/L}$ )	49.57 $\pm$ 0.01 <sup>▽*</sup>
Cisplatin(4 $\mu\text{g/ml}$ )+PDT(75 $\mu\text{mol/L}$ )	59.69 $\pm$ 0.03 <sup>**</sup>

Note: <sup>△</sup> $P=0.0006$ , <sup>▽</sup> $P<0.0001$ , <sup>\*</sup> $P=0.0006$ : compared with cisplatin group. <sup>\*\*</sup> $P<0.0001$ : compared with PDT group.

mRNA 的表达量随 PDT 浓度的增加而降低, 且低于顺铂组 (Table 3, Figure 1)。

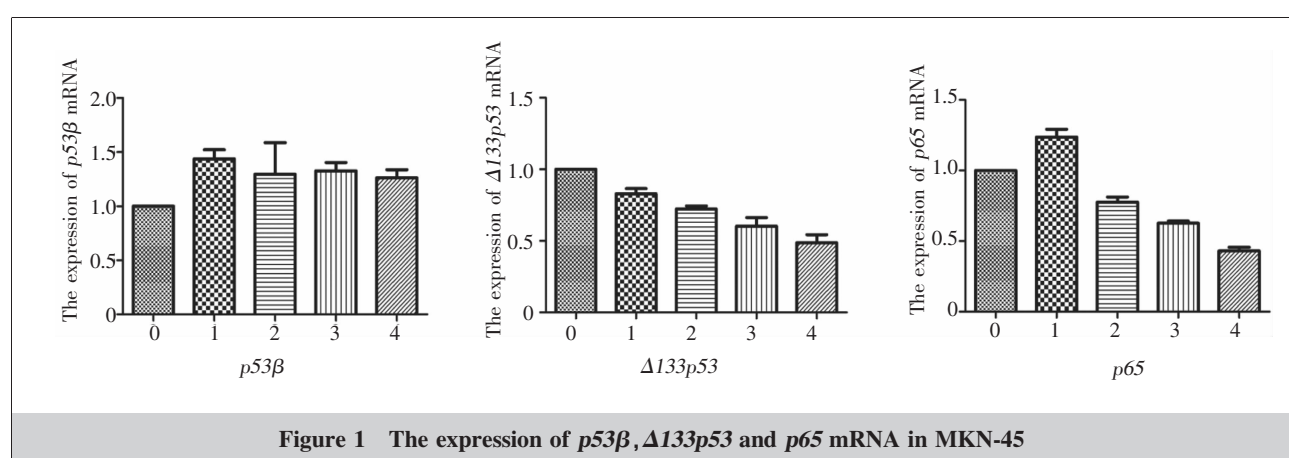
### 2.3 MKN-45 细胞中 $p53\beta$ 、 $\Delta 133p53$ 与 $p65$ mRNA 表达相关性

Pearson 直线相关分析结果显示, MKN-45 细胞中  $p53\beta$  与  $p65$  mRNA 的表达无明显相关性 ( $r=0.072, P=0.798$ ),  $\Delta 133p53$  与  $p65$  mRNA 的表达呈正相关 ( $r=0.814, P<0.0001$ ) (Figure 2)。

**Table 3 The expression of  $p53\beta$ ,  $\Delta 133p53$  and  $p65$  mRNA in gastric cancer cell MKN-45**

Groups	$p53\beta$	$\Delta 133p53$	$p65$
Control group	1.00	1.00	1.00
Cisplatin(4 $\mu\text{g/ml}$ )	1.44 $\pm$ 0.07 <sup>△</sup>	0.83 $\pm$ 0.03 <sup>▽</sup>	1.31 $\pm$ 0.06 <sup>○</sup>
Cisplatin(4 $\mu\text{g/ml}$ )+PDT(25 $\mu\text{mol/L}$ )	1.30 $\pm$ 0.24 <sup>*1</sup>	0.72 $\pm$ 0.02 <sup>*1</sup>	0.78 $\pm$ 0.03 <sup>□</sup>
Cisplatin(4 $\mu\text{g/ml}$ )+PDT(50 $\mu\text{mol/L}$ )	1.32 $\pm$ 0.06 <sup>*2</sup>	0.61 $\pm$ 0.05 <sup>*2</sup>	0.63 $\pm$ 0.01 <sup>□2</sup>
Cisplatin(4 $\mu\text{g/ml}$ )+PDT(75 $\mu\text{mol/L}$ )	1.26 $\pm$ 0.06 <sup>*3</sup>	0.49 $\pm$ 0.05 <sup>*3</sup>	0.43 $\pm$ 0.02 <sup>□3</sup>
<i>F</i>	3.78	68.98	286.40
<i>P</i>	0.04	<0.0001	<0.0001

Note: <sup>△</sup> $P=0.004$ , <sup>▽</sup> $P=0.004$ , <sup>○</sup> $P<0.0001$ : compared with control group. <sup>\*1</sup> $P=0.4692$ , <sup>\*2</sup> $P=0.1734$ , <sup>\*3</sup> $P=0.0559$ ; <sup>□1</sup> $P=0.0014$ , <sup>□2</sup> $P=0.005$ , <sup>□3</sup> $P=0.0009$ ; <sup>□1</sup> $P=0.0003$ , <sup>□2</sup> $P<0.0001$ , <sup>□3</sup> $P<0.0001$ : compared with cisplatin group.



**Figure 1 The expression of  $p53\beta$ ,  $\Delta 133p53$  and  $p65$  mRNA in MKN-45**

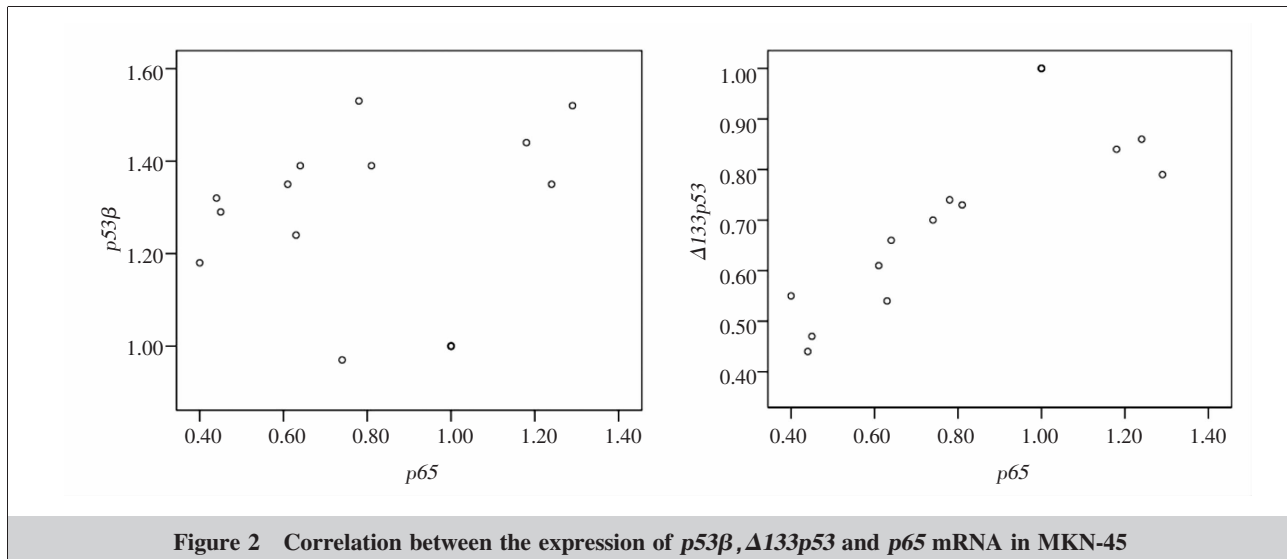


Figure 2 Correlation between the expression of  $p53\beta$ ,  $\Delta 133p53$  and  $p65$  mRNA in MKN-45

### 3 讨 论

$p53$  基因是抑癌基因家族中的重要成员,它的突变与50%以上肿瘤发生密切相关<sup>[4]</sup>。 $p53$ 剪接异构体的发现为肿瘤的研究提供了新的方向,近年来,已经证实, $p53$ 可以选择性表达12种异构体: $p53$ 、 $p53\beta$ 、 $p53\gamma$ 、 $\Delta 133p53$ 、 $\Delta 133p53\beta$ 、 $\Delta 133p53\gamma$ 、 $\Delta 40p53$ 、 $\Delta 40p53\beta$ 、 $\Delta 40p53\gamma$ 、 $\Delta 160p53$ 、 $\Delta 160p53\beta$ 和 $\Delta 160p53\gamma$ <sup>[5]</sup>。因此认为,调控 $p53$ 异构体的表达是 $p53$ 基因发挥生物学功能的关键。

$p53\beta$ 和 $\Delta 133p53$ 是 $p53$ 选择性表达的两种常见异构体,Avery-Kiejda等<sup>[5]</sup>发现在乳腺癌中 $p53\beta$ 的表达与肿瘤大小呈负相关,与患者无病生存率呈正相关,并且在有 $p53$ 基因突变的患者中, $p53\beta$ 可以起到保护作用。Wei等<sup>[6]</sup>发现 $\Delta 133p53$ 参与幽门螺杆菌感染相关胃炎到胃癌的进展,起抗凋亡作用。本课题组Ji等<sup>[7]</sup>发现在浅表性胃炎→萎缩性胃炎→胃癌发生过程中, $\Delta 133p53$ mRNA的表达量逐步增加, $p53\beta$ mRNA的表达量则逐步降低,具有显著性差异,因此猜测 $p53\beta$ 和 $\Delta 133p53$ 可作为胃癌诊断和治疗的标志物。Ji等<sup>[8]</sup>发现,在顺铂-MKN-45模型中,随顺铂浓度的增加, $p53\beta$ 和 $p53$ 、Bax的表达量逐步增加,且 $p53\beta$ 的表达量与 $p53$ 和Bax的表达呈正相关。由于 $p53$ 基因复杂的调节功能, $p53$ 异构体的确切机制还存在争议。因此有必要研究 $p53$ 异构体与其他通路(如NF-κB通路)之间的相互作用。

核因子-κB(NF-κB)是一种重要的核转录因子,

它是参与调控炎症反应、免疫应答和肿瘤发展的重要信号传导途径<sup>[9]</sup>。NF-κB蛋白家族包括5个亚单位:Rel(c-Rel)、 $p65$ (RelA)、 $RelB$ 、 $p50$ (NF-κB1)和 $p52$ (NF-κB2),其中以 $p50/p65$ 组成的二聚体最常见。随着深入研究发现,NF-κB参与多种肿瘤细胞如淋巴瘤、宫颈癌、卵巢癌以及胃肠道肿瘤等的增殖和凋亡<sup>[10]</sup>。因此,鉴于NF-κB在肿瘤中的重要作用,对NF-κB的靶向研究将十分有意义。

Mohammad等<sup>[2]</sup>发现,顺铂作为临床常用化疗药物可以激活NF-κB,导致肿瘤细胞产生抗药性,造成化疗失败。本实验RT-PCR结果也证明,与对照组比较,顺铂(4μg/ml)能明显增加人胃癌MKN-45细胞中NF-κB  $p65$ 基因的表达。吡咯烷二硫代氨基甲酸(PDTC)属二硫代氨基甲酸盐类化合物,是NF-κB活化的细胞膜通透性抑制剂,参与抑制多种细胞的NF-κB传导途径,具有抗氧化特性及金属螯合双重作用<sup>[11]</sup>。抑制NF-κB的活化被认为是增加化疗药物对组织敏感性的有效方案<sup>[12]</sup>,焦建新等<sup>[13]</sup>发现PDTC能通过抑制NF-κB的激活,抑制肝癌细胞增殖,促进肝癌细胞凋亡,增强阿霉素的化疗作用。也有研究证实,PDTC具有阻断顺铂激活NF-κB的作用,增加宫颈癌对顺铂的敏感性,促进细胞凋亡<sup>[14]</sup>。

上述研究说明, $p53$ 和NF-κB在肿瘤的发生、发展过程中起着重要调节作用。有研究发现, $p53$ 和NF-κB两种蛋白在胃腺癌组织中的表达明显升高,并在胃腺癌的发生、发展中存在正相关性<sup>[15]</sup>。为研究 $p53$ 异构体( $p53\beta$ 和 $\Delta 133p53$ )与NF-κB途径在

PDTc联合顺铂抗肿瘤中的相互作用，本实验采用p53 $\beta$ 、 $\Delta$ 133p53表达阳性的胃癌细胞MKN-45为研究对象。通过CCK-8结果发现，PDTc能单独抑制MKN-45细胞增殖，同时，PDTc能协同顺铂抑制MKN-45细胞的增殖，细胞增殖抑制率明显高于单独药物组（本课题组下一步将深入研究PDTc作用于胃癌细胞后细胞凋亡率的变化）。进一步通过RT-PCR分析发现，在MKN-45细胞中，顺铂与PDTc联合使用时，随PDTc浓度的增加， $\Delta$ 133p53和p65 mRNA的相对表达量逐渐降低，且Pearson直线相关分析显示， $\Delta$ 133p53和p65 mRNA的表达趋势呈正相关；而p53 $\beta$  mRNA的相对表达量随PDTc浓度的增加无明显改变。因此，本研究认为在PDTc联合顺铂干预胃癌细胞MKN-45增殖的过程中，p53异构体中的 $\Delta$ 133p53作为抗凋亡基因，可协同降低NF- $\kappa$ B p65的表达，发挥抗肿瘤作用。因此认为， $\Delta$ 133p53而非p53 $\beta$ 异构体是NF- $\kappa$ B-p53对话的关键分子。

综上所述，NF- $\kappa$ B抑制剂PDTc联合顺铂抗肿瘤的机制可能是通过抑制NF- $\kappa$ B基因下调 $\Delta$ 133p53异构体的表达来实现。 $\Delta$ 133p53-NF- $\kappa$ B模型的研究将为胃癌的诊断、治疗以及预后提供新的依据。

## 参考文献：

- [1] Deng J,Liang H,Dong Q,et al. The survival decrease in gastric cancer is associated with the methylation of B-cell CLL/lymphoma 6 member B promoter[J]. Open Biol,2014,4(7):1-8.
- [2] Mohammad RM,Banerjee S,Li Y,et al. Cisplatin-induced antitumor activity is potentiated by the soy isoflavone genistein in BxPC-3 pancreatic tumor xenografts [J]. Cancer,2006,106(6):1260-1268.
- [3] Bourdon JC,Fernandes K,Murray-Zmijewski F,et al. p53 isoforms can regulate p53 transcriptional activity[J]. Genes Dev,2005,19(18):2122-2137.
- [4] Li KL,Kang J,Zhang P,et al. Efficacy of recombinant adenoviral human p53 gene in the treatment of lung cancer-mediated pleural effusion [J]. Oncol Lett, 2015,9(5):2193-2198.
- [5] Avery-Kiejda KA,Morten B,Wong-Brown MW,et al. The relative mRNA expression of p53 isoforms in breast cancer is associated with clinical features and outcome [J]. Carcinogenesis,2014,35(3):586-596.
- [6] Wei J,Noto J,Zaika E,et al. Pathogenic bacterium Helicobacter pylori alters the expression profile of p53 protein isoforms and p53 response to cellular stresses[J]. Proc Natl Acad Sci U S A,2012,109(38):E2543-E2550.
- [7] Ji WS,Zhang N,Zhang HM,et al. Expression of p53 $\beta$  and  $\Delta$ 133p53 isoforms in different gastric tissues [J]. Int J Clin Exp Pathol,2015,8(9):10468-10474.
- [8] Ji W,Ma J,Zhang H,et al. Role of p53 $\beta$  in the inhibition of proliferation of gastric cancer cells expressing wild-type or mutated p53 [J]. Mol Med Rep,2015,12(1):691-695.
- [9] Hu Z,Liu X,Tang Z,et al. Possible regulatory role of Snail in NF- $\kappa$ B-mediated changes in E-cadherin in gastric cancer [J]. Oncol Rep,2013,29(3):993-1000.
- [10] Wu D,Wu P,Zhao L,et al. NF- $\kappa$ B expression and outcomes in solid tumors:a systematic review and meta-analysis [J]. Medicine(Baltimore),2015,94(40):1-12.
- [11] Gao P,Gao YJ,Liang HL. Effect of NF- $\kappa$ B inhibitor PDTc on VEGF and endostatin expression of mice with Lewis lung cancer [J]. Asian Pac J Trop Med,2015,8(3):220-224.
- [12] Sebens S,Arlt A,Schafer H. NF-kappa B as a molecular target in the therapy of pancreatic carcinoma[J]. Recent Results Cancer Res,2008,177:151-164.
- [13] Jiao JX,Ji WS,Gao ZX,et al. Effects of antioxidant PDTc on the proliferation of hepatocellular carcinoma a Hep3B cells line and its mechanism[J]. Shandong Medical Journal,2010,50(7):9-11.[焦建新,季万胜,高志星,等.抗氧化剂PDTc对肝癌细胞株Hep3B增殖的影响及机制[J].山东医药,2010,50(7):9-11.]
- [14] Zheng X,Lv J,Shen Q,et al. Synergistic effect of pyrrolidine dithiocarbamate and cisplatin in human cervical carcinoma [J]. Reprod Sci,2014,21(10):1319-1325.
- [15] Guan X. Expressions of P53 and NF- $\kappa$ B in gastric adenocarcinoma and their clinical meaning[D]. Tai'an:Taishan Medical University,2014.1-53. [关鑫. P53、NF- $\kappa$ B在胃腺癌中的表达及临床意义[D]. 泰安:泰山医学院,2014.1-53.]